

Удельная нагрузка будет равна:

$$p = \frac{R}{S} \text{ МПа.}$$

Таким образом, зная конструктивные и геометрические параметры прессовых валов и используя представленную физико-математическую модель можно определить изнашивание опорной поверхности вала. Кроме того, определив удельную нагрузку в месте контакта «опорная поверхность вала - буксовая втулка», можно прогнозировать работоспособность полученного покрытия в зависимости от его прочности сцепления с основой.

## ЛИТЕРАТУРА

1. Алябьев, А.Я. Фреттинг-коррозия и ее структурно-энергетическое описание. – В сб.: «Надежность и долговечность авиационных газотурбинных двигателей». Киев, изд-во КИИ-ТА, вып. 1, 1971.
2. Алябьев, А.Я. и др. Структурные изменения при фреттинг-коррозии. – ФХММ, 1969, №6.
3. Алябьев, А.Я. и др. Энергетический анализ фреттинг-коррозии. – ФХММ, 1970, №5.
4. Иванова, В.С. и др. Усталость и хрупкость металлических материалов. – М.: Наука, 1968. – 452с.
5. Титченер, Э.Л., Бевер М.Б. Скрытая энергия при наклепе. – В сб.: «Успехи физики металлов». М.: Metallurgizdat, Т.4, 1961.
6. Голего, Н.Л., Алябьев, А.Я., Шевеля В.В. Фреттинг-коррозия металлов. – Киев: «Техніка», 1974 – 272с.
7. Хаазе, Р. Термодинамика необратимых процессов. – М., 1967. – 532с.
8. Сверлин, Р.А. Термодинамика твердого состояния. – М.: Metallurgizdat, 1963. – 520с.
9. Эйдлин, И.Я. Бумагоделательные и отделочные машины, 2 изд. – М., 1962. – 564с.

УДК 539.3

Чигарев А.В., Беляцкая Л.Н.

## КВАЗИСТАТИЧЕСКАЯ ПЕНЕТРАЦИЯ ИНДЕНТОРА В НЕОДНОРОДНОЕ ЖЕСТКОПЛАСТИЧЕСКОЕ ПОЛУПРОСТРАНСТВО ПРИ УСЛОВИИ ПОЛНОЙ ПЛАСТИЧНОСТИ

*Белорусский национальный технический университет  
Минск, Беларусь*

Рассмотрим вдавливание осесимметричного индентора в неоднородное жесткопластическое полупространство. Выберем цилиндрическую систему координат (рисунок 1) так что предел текучести  $k = k(\rho, \theta, z)$  тогда относительные к пределу текучести компоненты напряжений  $\sigma_{ij}$  являются функциями двух координат  $\rho, z$ .

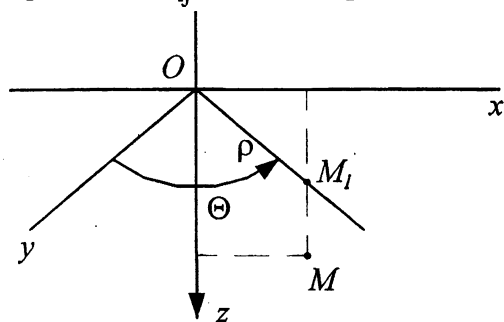


Рисунок 1

Рассмотрим условия полной пластичности:

$$\sigma_{1,2} = \sigma_{3,4}, \quad \sigma_3 = \sigma_1 + 2k, \quad (1)$$

где  $\sigma_i$  – компоненты главных напряжений,  $k$  – предел текучести.

Рассматривается пластическая неоднородность произвольного вида  $k(\rho, \theta, z)$ . Предел текучести полагается функцией трех координат точек пространства  $k(\rho, \theta, z) = k_0 G(\rho, \theta, z)$ , где  $G = G(\rho, \theta, z)$  – непрерывная дифференцируемая произвольная функция  $k_0 = \text{const}$ . За единицу напряжения принимается  $2k_0 = 1$ .

Предположим

$$\begin{aligned}\sigma_\rho &= \tilde{\sigma}_\rho(\rho, z)G(\rho, \theta, z), \quad \tau_{\rho\theta} = \tilde{\tau}_{\rho\theta}(\rho, z)G(\rho, \theta, z), \\ \sigma_\theta &= \tilde{\sigma}_\theta(\rho, z)G(\rho, \theta, z), \quad \tau_{\rho z} = \tilde{\tau}_{\rho z}(\rho, z)G(\rho, \theta, z), \\ \sigma_z &= \tilde{\sigma}_z(\rho, z)G(\rho, \theta, z), \quad \tau_{\theta z} = \tilde{\tau}_{\theta z}(\rho, z)G(\rho, \theta, z),\end{aligned}\quad (2)$$

где  $\tilde{\sigma}_\rho, \tilde{\tau}_{\rho\theta}, \dots$  – компоненты напряжений, отнесенные к  $k(\rho, \theta, z)$ .

Далее ниже в соотношениях будут только отнесенные к пределу текучести компоненты напряжений, для простоты записи знак "волны" будем опускать.

Компоненты напряжений, отнесенные к пределу текучести, при условии полной пластичности, используя соотношения для направляющих косинусов, приводятся к виду:

$$\begin{aligned}\sigma_\rho &= \sigma \mp \frac{1}{3} \pm \frac{1}{2}(1 + \cos \psi) \cos^2 \xi, \quad \tau_{\rho\theta} = \pm \frac{1}{2} \sin \psi \cos \xi, \\ \sigma_\theta &= \sigma \mp \frac{1}{3} \pm \frac{1}{2}(1 - \cos \psi), \quad \tau_{\rho z} = \pm \frac{1}{2}(1 + \cos \psi) \sin \xi \cos \xi, \\ \sigma_z &= \sigma \mp \frac{1}{3} \pm \frac{1}{2}(1 + \cos \psi) \sin^2 \xi, \quad \tau_{\theta z} = \pm \frac{1}{2} \sin \psi \sin \xi, \\ \sigma &= \frac{1}{3}(\sigma_\rho + \sigma_\theta + \sigma_z), \quad \sigma = \sigma_z \pm \frac{1}{3}.\end{aligned}\quad (3)$$

Уравнения равновесия запишутся в виде

$$\frac{\partial \sigma_\rho}{\partial \rho} + \frac{\partial \tau_{\rho z}}{\partial z} + R_1 = 0, \quad \frac{\partial \tau_{\rho\theta}}{\partial \rho} + \frac{\partial \tau_{\theta z}}{\partial z} + R_3 = 0, \quad \frac{\partial \tau_{\rho z}}{\partial \rho} + \frac{\partial \sigma_z}{\partial z} + R_2 = 0, \quad (4)$$

где

$$\begin{aligned}R_1 &= \frac{\sigma_\rho - \sigma_\theta}{\rho} + \frac{1}{G(\rho, \theta, z)} \left[ \sigma_\rho \frac{\partial G(\rho, \theta, z)}{\partial \rho} + \frac{\tau_{\rho\theta}}{\rho} \frac{\partial G(\rho, \theta, z)}{\partial \theta} + \tau_{\rho z} \frac{\partial G(\rho, \theta, z)}{\partial z} + F_1 \right] = \\ &= \pm \frac{1}{2\rho} \left[ (1 + \cos \psi) \cos^2 \xi - (1 - \cos \psi) \right] + \\ &+ \frac{1}{G(\rho, \theta, z)} \left[ \left( \sigma \mp \frac{1}{3} \pm (1 + \cos \psi) \cos^2 \xi \right) \frac{\partial G(\rho, \theta, z)}{\partial \rho} \pm \right. \\ &\left. \pm \frac{\sin \psi \cos \xi}{2\rho} \frac{\partial G(\rho, \theta, z)}{\partial \theta} \pm \frac{1}{2}(1 + \cos \psi) \sin \xi \cos \xi \frac{\partial G(\rho, \theta, z)}{\partial z} + F_1 \right],\end{aligned}\quad (5)$$

$$\begin{aligned}R_2 &= \frac{\tau_{\rho z}}{\rho} + \frac{1}{G(\rho, \theta, z)} \left[ \tau_{\rho z} \frac{\partial G(\rho, \theta, z)}{\partial \rho} + \frac{\tau_{\theta z}}{\rho} \frac{\partial G(\rho, \theta, z)}{\partial \theta} + \sigma_z \frac{\partial G(\rho, \theta, z)}{\partial z} + F_3 \right] = \\ &= \frac{(1 + \cos \psi) \sin \xi \cos \xi}{2\rho} + \frac{1}{G(\rho, \theta, z)} \left[ \left( \pm \frac{1}{2}(1 + \cos \psi) \sin \xi \cos \xi \right) \frac{\partial G(\rho, \theta, z)}{\partial \rho} \pm \right. \\ &\left. \pm \frac{\sin \psi \sin \xi}{2\rho} \frac{\partial G(\rho, \theta, z)}{\partial \theta} + \left( \sigma \mp \frac{1}{3} \pm \frac{1}{2}(1 + \cos \psi) \sin^2 \xi \right) \frac{\partial G(\rho, \theta, z)}{\partial z} \right],\end{aligned}\quad (6)$$

$$\begin{aligned}R_3 &= \frac{2\tau_{\rho\theta}}{\rho} + \frac{1}{G(\rho, \theta, z)} \left[ \tau_{\rho\theta} \frac{\partial G(\rho, \theta, z)}{\partial \rho} + \frac{\sigma_\theta}{\rho} \frac{\partial G(\rho, \theta, z)}{\partial \theta} + \tau_{\theta z} \frac{\partial G(\rho, \theta, z)}{\partial z} + F_2 \right] = \\ &= \pm \frac{\sin \psi \cos \xi}{\rho} + \frac{1}{G(\rho, \theta, z)} \left[ \left( \pm \frac{1}{2} \sin \psi \cos \xi \right) \frac{\partial G(\rho, \theta, z)}{\partial \rho} \right],\end{aligned}$$

$$+ \frac{1}{\rho} \left( \sigma \mp \frac{1}{3} \pm \frac{1}{2} (1 - \cos \psi) \right) \frac{\partial G(\rho, \theta, z)}{\partial \theta} \pm \frac{1}{2} \sin \psi \sin \xi \frac{\partial G(\rho, \theta, z)}{\partial z} + F_2 \Big]. \quad (7)$$

Рассмотрение неоднородности вида  $G(\rho, \theta, z) = a^{m\theta} G(\rho, z)$ , где  $m = \text{const}$ ;  $a \in \mathbb{R}_+ \setminus \{1\}$ ,  $G(\rho, z) > 0$  – непрерывная дифференцируемая функция, позволяют исключить компоненты  $\theta$  в уравнениях равновесия. При  $m \neq 0$  для исключения  $\theta$  потребуется пренебречь воздействием массовых сил  $F_i = 0$  ( $i = 1, 2, 3$ ).

При решении задачи о вдавливании осесимметричных штампов с учетом сдвигающих усилий  $\psi \neq 0$  получается три семейства характеристик и дифференциальные соотношения вдоль них:

$$\left( \frac{dz}{d\rho} \right)_{\alpha, \beta} = \text{tg} \left[ \xi \mp \left( \frac{\pi}{4} + \mu \right) \right], \quad \text{tg} 2\mu = \frac{1 - \cos \psi}{2\sqrt{\cos \psi}}, \quad (8)$$

соотношение вдоль  $\alpha$  характеристики

$$d\sigma \mp \frac{1}{2} \frac{1 + \cos \psi}{\sqrt{\cos \psi}} d\xi + \left( R_1 + R_2 \left( \frac{dz}{d\rho} \right)_\alpha + \frac{\sin \psi}{C_\alpha \sqrt{\cos \psi}} R_3 \right) d\rho = 0, \quad (9)$$

соотношение вдоль  $\beta$  характеристики

$$d\sigma \mp \frac{1}{2} \frac{1 + \cos \psi}{\sqrt{\cos \psi}} d\xi + \left( R_1 + R_2 \left( \frac{dz}{d\rho} \right)_\beta + \frac{\sin \psi}{C_\beta \sqrt{\cos \psi}} R_3 \right) d\rho = 0, \quad (10)$$

где  $C_{\alpha, \beta} = \cos \xi \sqrt{\cos \psi} \pm \sin \xi$ .

В общем случае, при  $\psi \neq 0$  имеет место третья характеристика:

$$\left( \frac{dz}{d\rho} \right)_\gamma = \text{tg} \xi, \quad (11)$$

соотношение вдоль  $\gamma$  характеристики имеет вид:

$$d\sigma \mp \frac{1}{2} \text{ctg} \frac{\psi}{2} d\psi + \left( R_1 + R_2 \left( \frac{dz}{d\rho} \right)_\gamma - \frac{\text{ctg} \frac{\psi}{2}}{\cos \xi} R_3 \right) d\rho = 0, \quad (12)$$

где  $R_1, R_2, R_3$  определяются соотношениями.

Рассмотрим вывод характеристических соотношений, позволяющих определить пол скорости перемещений для задачи о вдавливании осесимметричных штампов с учетом сдвигающих усилий  $\psi \neq 0$  в случае однородного материала  $G(\rho, \theta, z) = 1$ .

Составим систему из условия несжимаемости:

$$\varepsilon_\rho + \varepsilon_\theta + \varepsilon_z = 0, \quad (13)$$

и условия изотропии:

$$\varepsilon_\rho + \varepsilon_{\rho\theta} \frac{n_2}{n_1} + \varepsilon_{\rho z} \frac{n_3}{n_1} = \varepsilon_{\rho\theta} \frac{n_2}{n_1} + \varepsilon_\theta + \varepsilon_{\theta z} \frac{n_3}{n_2}, \quad (14)$$

$$\varepsilon_{\rho z} \frac{n_1}{n_3} + \varepsilon_{\theta z} \frac{n_2}{n_3} + \varepsilon_z = \varepsilon_\rho + \varepsilon_{\rho\theta} \frac{n_2}{n_1} + \varepsilon_{\rho z} \frac{n_3}{n_1}.$$

Полученная система дифференциальных уравнений вместе с формулами Коши относительно неизвестных  $u, v, w$  скоростей перемещений принадлежит к гиперболическому типу. Аналогично задаче определения поля напряжений имеет три характеристики (9), (10), (11) и три дифференциальных соотношения вдоль этих характеристик:

$$\begin{aligned}
& du + \left( \frac{dz}{d\rho} \right)_{\alpha,\beta,\gamma} dw + f_{\alpha,\beta,\gamma} dv + \frac{1}{1-n_2^2} \left[ n_3^2 (S_1 + S_2) + (n_3^2 - n_1^2) S_3 - \right. \\
& \left. - 2\tau_1\tau_3 (S_1 + S_2 + 2S_3) \left( \frac{dz}{d\rho} \right)_{\alpha,\beta,\gamma} + (n_1^2 S_1 - n_3^2 S_2 - (n_3^2 - n_1^2) S_3) \left( \frac{dz}{d\rho} \right)_{\alpha,\beta,\gamma}^2 \right] d\rho, \\
& f_{\alpha,\beta,\gamma} = \frac{n_2(1-2n_2^2)}{n_1(1-2n_1^2) + n_3(1-2n_3^2) \left( \frac{dz}{d\rho} \right)_{\alpha,\beta,\gamma}}, \\
& S_1 = \frac{u}{\rho}, \quad S_2 = -\frac{n_2}{2\rho n_1} v, \quad S_3 = \frac{u}{\rho} + \frac{n_2^2 - n_1^2}{2\rho n_1 n_2} v, \tag{15}
\end{aligned}$$

где  $n_1, n_2, n_3$  – направляющие косинусы главного напряжения  $\sigma_{3,1}$  при условиях ползучей пластичности (1):

$$n_1 = \cos \frac{\Psi}{2} \cos \xi, \quad n_2 = \sin \frac{\Psi}{2}, \quad n_3 = \cos \frac{\Psi}{2} \sin \xi. \tag{16}$$

#### ЛИТЕРАТУРА

1. Чигарев, А.В., Чигарев, Ю.В., Беляцкая, Л.Н., Миклашевич, И.А. Классический хаос и самоорганизация в волновых и деформационных полях // Актуальные проблемы динамики и прочности в теоретической и прикладной механике. – Мн., 2001. – С. 458-462.
2. Кузнецов, И.И. Плоская деформация неоднородных пластических тел // Вестник Ленинградского университета, 1958, № 13. – Вып.3. – С.112-131.

ДК 621.7

*Шелег В.К., Александров В.М., Сягло И.С.*

#### МОДЕЛИРОВАНИЕ СТРУКТУРЫ ПРОНИЦАЕМЫХ КОМПОЗИЦИОННЫХ МАТЕРИАЛОВ

*Научно-исследовательский институт импульсных процессов с опытным производством  
Минск, Беларусь*

Моделирование структуры пористого композиционного материала (ПКМ) своей конечной целью ставит определение зависимости свойств ПКМ от каркасных и структурных факторов и, в большинстве случаев, рассматривается как единственно возможный способ описания реального пористого материала на базе некоторых гипотетических представлений о нем.

Применение моделей для исследования свойств пористых материалов предполагает обоснование и использование численных параметров, характеризующих строение их порового пространства. В результате исследований определяется взаимосвязь этих параметров, а также их влияние на гидравлические, физико-механические, фильтровальные, акустические и ряд других свойств. Модели, применяемые для исследования свойств пористых материалов, весьма многочисленны и разнообразны. Они строятся в виде совокупности частиц одинаковой геометрической формы и размера, расположенных в пространстве по определенным